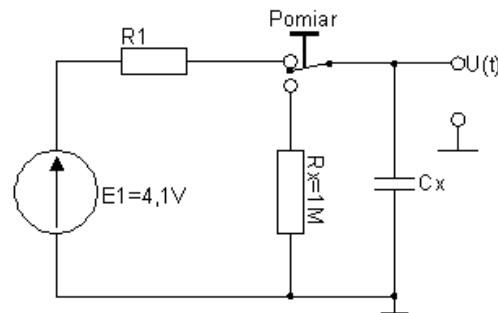


## Ćwiczenie 6

# WIZUALIZACJA PROCESU WYZNACZANIA SKŁADOWYCH IMPEDANCJI LC METODĄ DYNAMICZNĄ Z WYKORZYSTANIEM ŚRODOWISKA *LabVIEW*

### 6.1. Wprowadzenie

Istotę metody dynamicznej wyznaczania składowych impedancji, na przykładzie pomiaru pojemności  $C_x$ , objaśnia rys. 6.1 [3]. W pierwszej fazie badany kondensator  $C_x$  jest ładowany do napięcia  $U_m = EI$  a następnie, po załączeniu przycisku „POMIAR”, rozładowywany w obwodzie  $R_x C_x$ . Kondensator rozładowuje się przez rezystancję wzorcową  $R_x = 1\text{ M}\Omega$ . System pomiarowy na bazie karty *NI USB 6008* mierzy czas rozładowania kondensatora  $C_x$  do momentu, w którym napięcie na nim osiągnie wartość  $u_{C_x}(t=T) = U_m/e$ . W tym momencie zmienia swój stan komparator, na którym ustawiono taką wartość napięcia odniesienia oraz zatrzymuje się pomiar czasu. Stała czasowa obwodu wynosi  $T = R_x \cdot C_x$ .



Rys. 6.1. Objasnienie dynamicznej metody wyznaczania składowych impedancji na przykladzie pomiaru pojemności  $C_x$  [3]

Przyjęto następujące oznaczenia:

$t$  – czas,

$T$  – stała czasowa obwodu  $T = R_x \cdot C_x$ ,

$e$  – podstawa logarytmu naturalnego.

Uwzględniając, że kondensator  $C_x$  rozładowuje się według funkcji:

$$u_{C_x}(t) = U_m \exp\left(-\frac{t}{R_x C_x}\right), \quad (1)$$

po logarytmowaniu można napisać:

$$\ln[u_{C_x}(t)] = -\frac{1}{R_x C_x} t + \ln U_m. \quad (2)$$

Równanie (2) odpowiada równaniu prostej:

$$y = ax + b, \quad (3)$$

gdzie:

$$y = \ln[u_{C_x}(t)], \quad a = -\frac{1}{R_x C_x}, \quad x = t, \quad b = \ln U_m. \quad (4)$$

System pomiarowy pracuje dyskretnie, dlatego napięcie na kondensatorze  $u_{C_x}(t_i)$  jest mierzone w dokładnie określonym czasie  $t_i$ . Na podstawie pomiarów otrzymuje się tablicę danych  $[t_i,$

$u_{Cx}(t_i)$ . Dla przypadku ujemnej wartości „współczynnika kierunkowego”  $a$  prostej, z równań (3, 4) można wyprowadzić następującą zależność na mierzoną pojemność  $C_x$  [3, 4]:

$$C_x = \frac{\left(\sum_{i=1}^n t_i\right)^2 - n \sum_{i=1}^n t_i^2}{R_x \left\{ n \sum_{i=1}^n t_i \ln[u_{Cx}(t_i)] - \left(\sum_{i=1}^n t_i\right) \left(\sum_{i=1}^n \ln[u_{Cx}(t_i)]\right) \right\}}. \quad (5)$$

Wzór (5) wynika z liniowej regresji danych dla minimum błędu średniokwadratowego. Analogicznie można wyprowadzić współczynnik korelacji wzajemnej  $r^2$  [3]:

$$r^2 = \frac{\left\{ \sum_{i=1}^n t_i \ln[u_{Cx}(t_i)] - \frac{\sum_{i=1}^n t_i}{n} \sum_{i=1}^n \ln[u_{Cx}(t_i)] \right\}^2}{\left[ \sum_{i=1}^n t_i^2 - \frac{\left(\sum_{i=1}^n t_i\right)^2}{n} \right] \cdot \left[ \sum_{i=1}^n \ln[u_{Cx}(t_i)]^2 - \frac{\left(\sum_{i=1}^n \ln[u_{Cx}(t_i)]\right)^2}{n} \right]}. \quad (6)$$

Współczynnik ten wskazuje, czy istnieje zależność między elementami tablicy danych  $[t_i, u_{Cx}(t_i)]$ . Oczywiście powinien przyjmować wartości bliskie jedności.

Dla zarejestrowanych dwóch próbek ( $n=2$ ), wzór (5) przyjmuje postać:

$$C_x = \frac{t_2 - t_1}{R_x \{ \ln[u_{Cx}(t_1)] - \ln[u_{Cx}(t_2)] \}}. \quad (7)$$

## 6.2. Opis oprogramowania stworzonego w środowisku *LabVIEW*

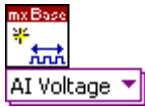
### 6.2.1. Uwagi wstępne

Środowisko *LabVIEW* jest graficznym językiem programowania zaprojektowanym po to by ułatwić tworzenie wirtualnych przyrządów pomiarowych (*VI's - Virtual Instruments*). W przeciwieństwie do tradycyjnych języków programowania w *LabVIEW* używa się ikon zamiast tekstu. Biegiem wykonywania programu kieruje nie kolejność występowania instrukcji, ale przepływ strumienia danych. Oznacza to, że dany bloczek (instrukcja w formie graficznej) zostanie wykonany dopiero wówczas, gdy wszystkie dane na wejściu będą kompletne. Aplikacja zaprojektowana za pomocą *LabVIEW* składa się z dwóch części. Są to: okno edycyjne *Panelu* (*Front Panel*), gdzie buduje się interfejs użytkownika oraz okno edycyjne *Diagramu* (*Block Diagram*) w polu którego buduje się sieć działań. Ważną cechą *LabVIEW* jest to, iż firma „National Instruments” dostarcza wraz ze swoimi urządzeniami do akwizycji danych (*DAQ's - Data Acquisition devices*) wsparcie projektowe dla środowiska *LabVIEW*, co czyni prace nad aplikacją znacznie bardziej przyjazną dla użytkownika [1, 5, 6, 7].

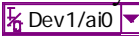
### 6.2.2. Opis instrukcji *DAQmxBASE*



- *DAQmxBase Create Task*. Jest to instrukcja tworząca nowe zadanie. Dostarcza ona „Task ID” dla pozostałych blozków w programie. Większość parametrów wejściowych tej funkcji jest ignorowana. W aplikacji użyta jest jako instrukcja bez parametrów.



- *DAQmxBase Create Virtual Channel*. Tworzy kanał wirtualny i dodaje go do zadania. Aby użyć tego VI należy najpierw wykonać *DAQmxBase Create Task*. W powyższej wersji utworzony zostanie kanał wejścia analogowego. Do wejścia VI należy doprowadzić następujące dane:

- *Physical channels*: nazwa kanału fizycznego w celu skojarzenia go z utworzonym kanałem wirtualnym. W zaprezentowanym rozwiązaniu skorzystano z pierwszego kanału pomiarowego .
- *Maximum value*: maksymalna wartość (domyślnie napięcia), jaką spodziewamy się mierzyć.
- *Minimum value*: minimalna wartość (domyślnie napięcia), jaką spodziewamy się mierzyć.
- *Input terminal configuration*: w tym miejscu należy wybrać tryb, w jakim ma pracować urządzenie DAQ. Są dwa tryby pracy: RSE (Reference Single-Ended - sygnał doprowadzamy między masę a pin „+AI0”) - wówczas mamy do dyspozycji osiem analogowych kanałów pomiarowych oraz tryb DIFFERENTIAL (sygnał pomiarowy doprowadzamy między piny „+AI0” a „-AI0”) - liczba kanałów pomiarowych spada do czterech, natomiast rozdzielczość przetwornika A/C wzrasta do 12 bitów.
- *Task In*: do tego wejścia doprowadzamy „Task ID” uzyskany np. za pomocą VI *DAQmxBase Create Task*.

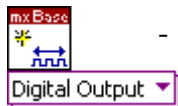
**Możliwe są także inne opcje pracy tego VI:**



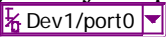
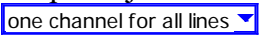
- Wyjście analogowe.



- Wejście cyfrowe.

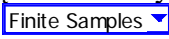


- Wyjście cyfrowe. Jako parametry wejściowe dla tego VI należy doprowadzić:

- *Lines* - nazwa linii cyfrowej lub portu w celu skojarzenia go z utworzonym kanałem wirtualnym .
- *Line grouping* - parametr określa czy pogrupować linie portu w jeden wirtualny kanał czy dla każdej linii portu stworzyć oddzielny. W aplikacji zastosowano pierwszy sposób - jeden kanał dla wszystkich linii .




- *DAQmxBase Timing*. Za pomocą tego VI ustawia się częstotliwość próbkowania, ilość zebranych próbek a także dokonuje wyboru czy nabywanie danych ma się odbywać ciągle, czy zakończyć po jednym cyklu. Jako dane wejściowe należy doprowadzić:

- *Rate* - częstotliwość próbkowania ustawiana w próbkach na kanał na sekundę.
- *Source* - źródło sygnału zegarowego (niepołączone oznacza, że wykorzystywany jest wewnętrzny zegar karty).
- *Active edge* - pole wyboru: czy próbki mają być nabywane przy rosnącym (domyślnie) czy przy opadającym zboczach sygnału zegarowego.
- *Sample mode* - określa, w jaki sposób urządzenie nabywa lub generuje próbki. W opisywanej aplikacji użyto trybu , co oznacza, że nabyta zostanie określona ilość próbek.
- *Samples per channel* - określa ilość próbek do nabycia lub wygenerowania (pod warunkiem, że pole *Sample mode* zostanie ustawione w tryb *Finite Samples*).



Start  
Digital Edge

- *DAQmxBase Trigger*. Ten VI konfiguruje urządzenie *DAQ* tak, aby zacząć nabywać próbki wówczas, gdy na odpowiedni pin karty przyjdzie narastające lub opadające (niepopierane dla *NI USB 6008*) zbocze sygnału cyfrowego. Jako parametry należy podać:

- *Source* - określa gdzie znajduje się źródło sygnału cyfrowego, które zostanie użyte do wyzwolenia procesu akwizycji danych. W opisywanej aplikacji podłączono tam  /Dev1/PFI0.



- *DAQmxBase Start Task*. Przejście zadania w tryb wykonania. Ten VI jest wymagany dla wszystkich aplikacji *DAQmxBASE*. Umieszcza się go po dokonaniu pełnej konfiguracji kanałów.



Analog 2D DBL  
NChan NSamp

- *DAQmxBase Read*. Ten VI czyta próbki z wcześniej utworzonego zadania. W zaprezentowanej wersji, na wyjściu otrzymuje się tablicę danych, np. z wejść analogowych. Jako dane wejściowe należy podać:

- *Number of samples per channel* - określa ile próbek należy odczytać. Jeśli zostawia się niepołączone, a przy pomocy VI *DAQmxBase Timing* zadanie zostało ustawione na nabywanie skończonej liczby próbek, wówczas VI czeka aż zadanie zgromadzi wszystkie żądane próbki i dopiero je przeczyta.
- *Timeout* - określa czas, jaki VI ma czekać aż zażądane próbki staną się dostępne. Jeśli czas mija, VI zwraca błąd wraz z próbkami, które zdołał odczytać.



Digital U8  
1Chan 1Samp

- *DAQmxBase Write*. Ten VI wysyła do zadania, które jest skojarzone z wyjściem cyfrowym, pojedynczą 8 bitową zmienną typu całkowitego. Inaczej mówiąc tego VI używa się, aby wysłać dane od razu na wszystkie linie portu. Przykładowo, aby uaktywnić pierwszy pin portu, należy przypisać polu data wartość 1; aby uaktywnić wszystkie linie portu, pole data powinno przyjąć wartość 255 (255 Dec = 11111111 Bin).



- *DAQmxBase Stop Task*. Ten VI zatrzymuje zadanie i zwraca je do stanu, w jakim było przed wykonaniem *DAQmxBase Start Task*. Użycie tego VI jest wymagane dla każdej aplikacji *DAQmxBase*. Jeśli w pętli zostaje użyty *DAQmxBase Start Task* w tej samej pętli musi zostać użyty *DAQmxBase Stop Task*, choć ciągłe używanie tych VI's w aplikacji zmniejsza efektywność programu.



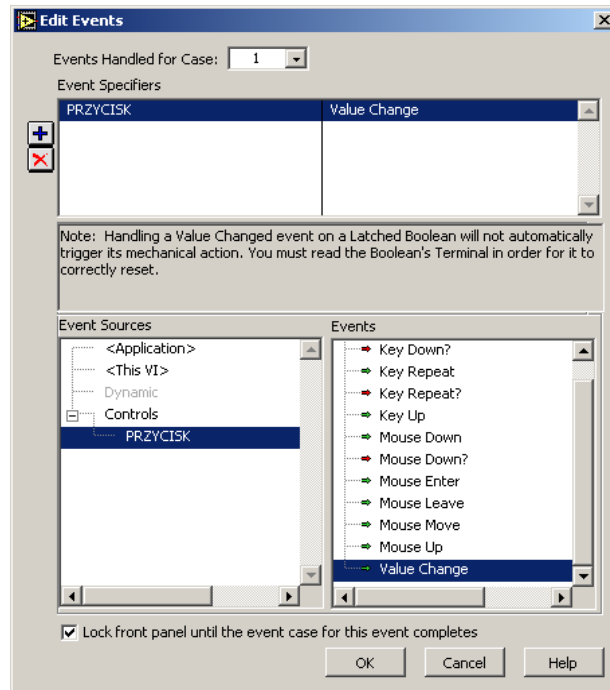
- *DAQmxBase Clear Task*. Ten VI czyści zadanie, zwalnia, zatrzymuje je (jeśli to jest konieczne) oraz zwalnia zasoby pamięci zarezerwowane przez zadanie. Po wykonaniu instrukcji nie można ponownie użyć zadania. Jeśli w pętli występuje *DAQmxBase Create Task* lub *DAQmxBase Create Virtual Channel* w tej samej pętli musi wystąpić *DAQmxBase Clear Task*.

### 6.2.3. Event Structure

*Event Structure* zawiera jeden lub więcej diagramów, z których jeśli wykonuje się struktura, wykonuje się dokładnie jeden diagram - rys. 6.2. *Event Structure* czeka, aż na głównym pulpicie wystąpi zaprogramowane zdarzenie, aby następnie wykonując odpowiednią ramkę obsłużyć dane zdarzenie. Jeśli w ciągu czasu, który jest podłączony do klepsydry w lewym górnym rogu struktury, żadne z zaprogramowanych zdarzeń nie wystąpi, wówczas wykonuje się ramka *Timeout*. Aby wyłączyć wykonywanie się tej ramki i po to by wydłużyć czas oczekiwania struktury na zdarzenie w nieskończoność, należy podłączyć do terminalu w lewym górnym rogu struktury wartość (-1). Aby stworzyć procedurę, która wykona się po wciśnięciu określonego przycisku, należy [5]:

- umieścić przycisk na panelu użytkownika,

- w obrębie struktury *Event* kliknąć prawym przyciskiem myszy i wybrać „*Add Event Case...*” oraz postępować zgodnie z rys. 6.2, a utworzona zostanie ramka wewnątrz której będzie można oprogramować wybrane zdarzenie.

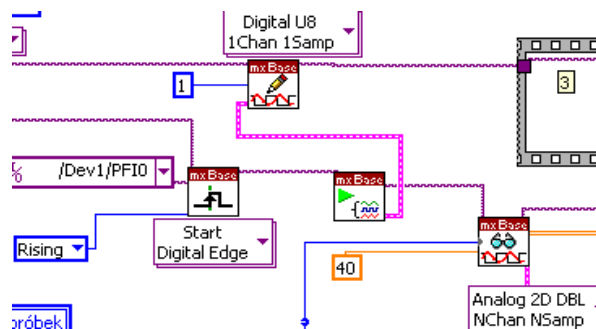


Rys. 6.2. Sposób tworzenia nowej ramki w *Event Structure*

#### 6.2.4. Kontrolowanie biegu programu w *LabVIEW*

Jak wspomniano w p. 6.2.1, w *LabVIEW* kolejność wykonywania poszczególnych instrukcji, zależy od przepływu danych pomiędzy kolejnymi *VI*. W momencie, gdy do określonej instrukcji dostarczone zostaną wszystkie dane wejściowe będzie ona wykonana. Problem powstaje wówczas, gdy nie można przewidzieć przepływu danych, a należy utrzymać kolejność wykonywania się poszczególnych operacji. Można wtedy wykorzystać „*Flat Sequence Structure*”. Kolejne ramki tej struktury będą wykonywane po sobie.

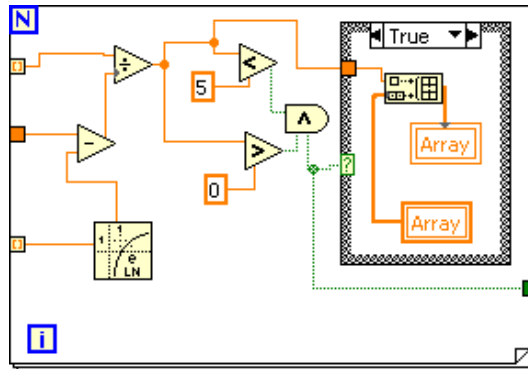
Jednak czasami można uniknąć konieczności uciekania się do stosowania wyżej wymienionej struktury. Mamy wtedy do czynienia z dwoma niezależnymi zadaniami, które należy zsynchronizować. Ważne jest, aby najpierw uruchomić zadanie akwizycji danych, a następnie wystawić sygnał logicznej jedynki na Pin 1 Port 0 karty. Synchronizację osiąga się za pomocą linii błędu, czyli za pomocą przepływu danych - rys. 6.3. Jest to sposób najbardziej zalecany podczas programowania w *LabVIEW*.



Rys. 6.3. Kierowanie biegiem programu z wykorzystaniem linii błędu

### 6.2.5. Zmienne lokalne

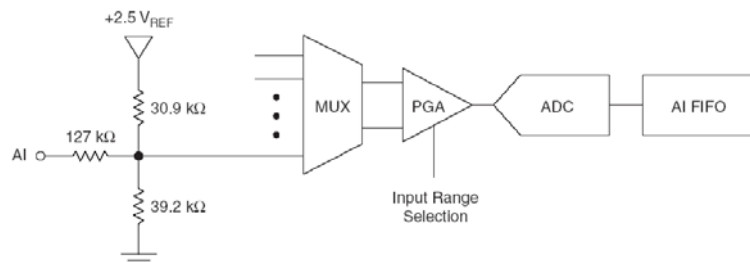
Zmienne lokalne są wygodnym sposobem na wymianę danych pomiędzy poszczególnymi pętlami w programie, jak i poszczególnymi ramkami *Event Structure*. Zmienna lokalna może reprezentować dowolną zmienną w programie i ma zasięg zarówno na program, jak i na podprogramy. W przykładzie pokazanym na rys. 6.4 przedstawiono, jak za pomocą zmiennej lokalnej można rozszerzyć tablicę o kolejny element. Rozszerzenie tablicy następuje dopiero wówczas, gdy element spełnia określone kryteria. Zrealizowanie takiego pomysłu bez użycia zmiennych lokalnych byłoby bardzo kłopotliwe.



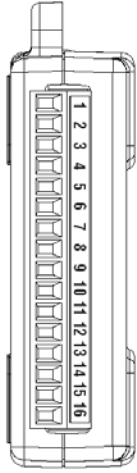
Rys. 6.4. Dodawanie nowego elementu do tablicy z przykładu z wykorzystaniem zmiennych lokalnych

### 6.3. Charakterystyka karty pomiarowej NI USB 6008

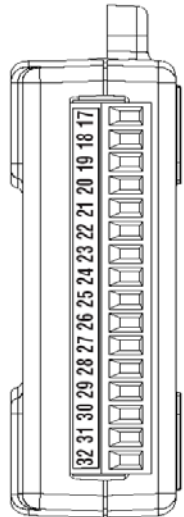
Zastosowana karta pomiarowa posiada cztery wejścia analogowe typu różnicowego (*Differential*), dwa wyjścia analogowe, jeden pełny port cyfrowy P0.<0..7> oraz drugi port okrojony P1.<0..3>. Karta posiada 12 bitowy przetwornik A/C oraz możliwość wyzwalania pomiaru zewnętrznym sygnałem cyfrowym. Maksymalna częstotliwość próbkowania wynosi 10 [kS/s] (kS = kiloSample, ang. sample – próbka). O wyborze karty zdecydowała możliwość zewnętrznego wywołania pomiaru. Cecha ta zyskuje na znaczeniu wówczas, gdy mamy do czynienia z szybkimi pomiarami i programowe wyzwolenie karty może okazać się nieskuteczne. Wadą karty jest to, iż wszystkie piny AI mają podniesiony potencjał do około 1,4 [V] - rys. 6.5 [1]. Rozwiązanie takie uniemożliwia bezpośredni pomiar napięcia na rozładowującym się kondensatorze. W celu odizolowania układu pomiarowego - rys. 6.8 od obwodów wejściowych karty, konieczne stało się zastosowanie wzmacniacza operacyjnego o wzmacnieniu równym 1. Na rys. 6.6 przedstawiono opis wyprowadzeń terminala analogowego karty, a na rys. 6.7 - cyfrowego [1].



Rys. 6.5. Schemat analogowego obwodu wejściowego karty pomiarowej (MUX - multiplexer, PGA - programowalny wzmacniacz, ADC - przetwornik analogowo-cyfrowy)

Module	Terminal	Signal, Single-Ended Mode	Signal, Differential Mode
	1	GND	GND
	2	AI 0	AI 0+
	3	AI 4	AI 0-
	4	GND	GND
	5	AI 1	AI 1+
	6	AI 5	AI 1-
	7	GND	GND
	8	AI 2	AI 2+
	9	AI 6	AI 2-
	10	GND	GND
	11	AI 3	AI 3+
	12	AI 7	AI 3-
	13	GND	GND
	14	AO 0	AO 0
	15	AO 1	AO 1
	16	GND	GND

Rys. 6.6. Opis wyprowadzeń terminala analogowego karty [1]

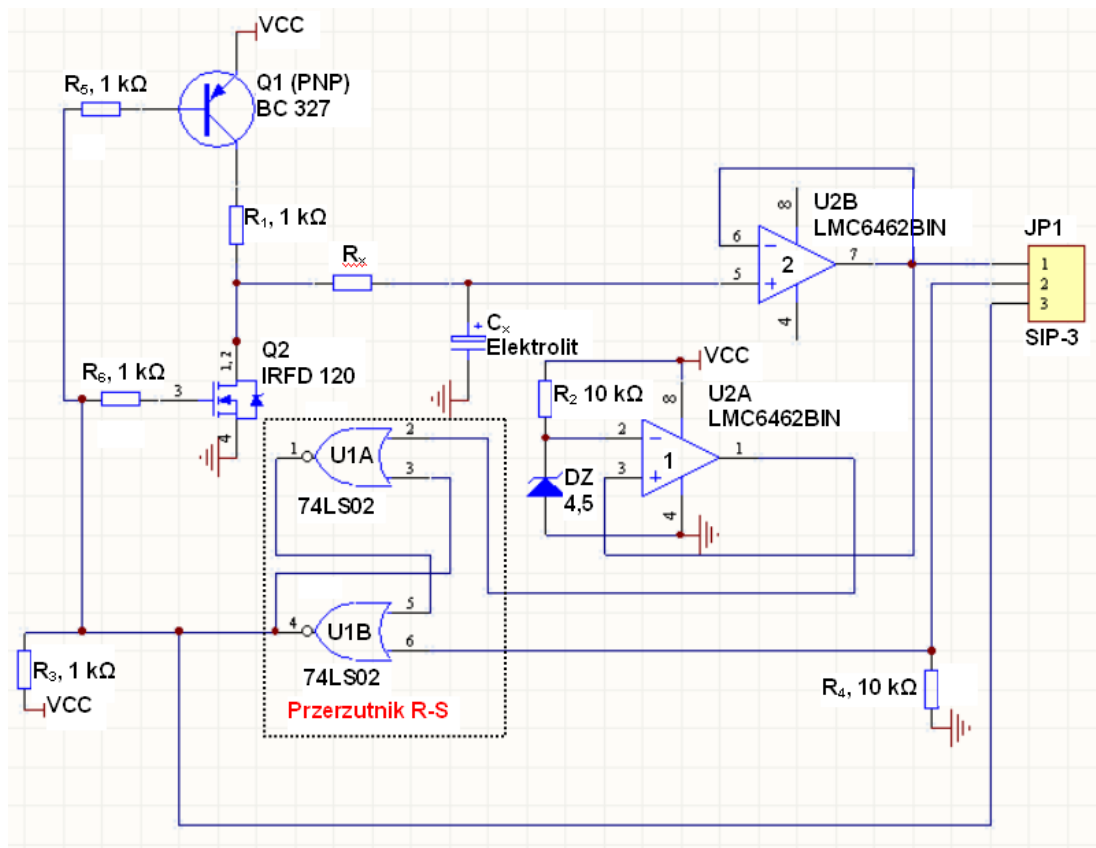
Module	Terminal	Signal
	17	P0.0
	18	P0.1
	19	P0.2
	20	P0.3
	21	P0.4
	22	P0.5
	23	P0.6
	24	P0.7
	25	P1.0
	26	P1.1
	27	P1.2
	28	P1.3
	29	PFI 0
	30	+2.5 V
	31	+5 V
	32	GND

Rys. 6.7. Opis wyprowadzeń terminala cyfrowego karty [1]

## 6.4. Opis układu pomiarowego

Pomiar rozpoczyna się w momencie naciśnięcia przycisku „Pomiar” - rys. 6.1. Wówczas na jeden z pinów karty zostanie wystawiony sygnał wysoki i rozpocznie się proces ładowania kondensatora  $C_x$ . Gdy napięcie na kondensatorze  $C_x$  przekroczy napięcie na diodzie Zenera  $DZ$  (około 4 [V]), wówczas komparator uruchomi proces jego rozładowywania oraz jednocześnie poda sygnał do karty w celu rozpoczęcia rejestracji charakterystyki rozładowywania się kondensatora. W tym czasie, w programie napisanym w *LabVIEW*, zapisywana jest

tablica z danymi - kolejnymi próbkami napięcia:  $[t_i, u_{C_x}(t_i)]$ , które wykorzystane zostaną do wyznaczenia stałej czasowej obwodu rozładowania się kondensatora - p. 6.1. Schemat układu pomiarowego zaprojektowanego do współpracy z kartą pomiarową przedstawiono na rys. 6.8. Opis wyprowadzeń jest następujący [2]:



Rys. 6.8. Schemat układu pomiarowego [2]

- Pin1 - sygnał pomiarowy, napięcie na rozładowującym się kondensatorze (Wyj).
- Pin2 - wyzwalanie procedury pomiarowej (Wej).
- Pin3 - sygnalizacja rozpoczęcia rozładowywania kondensatora (Wyj).

W układzie z rys. 6.8 zastosowano następujące elementy:

*U1A*, *U1B* - dwie bramki NOR połączone w układ przerzutnika R-S. Zadaniem przerzutnika jest sterowanie tranzystorami *Q1*, *Q2* oraz wygenerowanie dla karty (Pin3) sygnału rozpoczęcia rejestracji próbek  $[t_i, u_{C_x}(t_i)]$  rozładowania kondensatora.

*Q1* - tranzystor ładujący kondensator  $C_x$ . Zastosowano tranzystor BC327.

*Q2* - tranzystor rozładowujący kondensator  $C_x$ . Zastosowano tranzystor IRFD120 typu CMOS o małej rezystancji kanału, wynoszącej zgodnie z danymi katalogowymi 0,25  $[\Omega]$ , co umożliwia prawie całkowite rozładowanie kondensatora.

*U2A* - wzmacniacz operacyjny pracujący w układzie komparatora. Wykrywa moment naładowania się kondensatora i daje sygnał do przerzutnika RS w celu rozpoczęcia procedury pomiarowej, tj. rejestracji próbek  $[t_i, u_{C_x}(t_i)]$  rozładowania kondensatora. Zastosowano wzmacniacz LMC6462BIN firmy National Semiconductor.

*U2B* - wzmacniacz operacyjny o wzmacnieniu równym 1. Pełni rolę bufora pomiędzy układem pomiarowym, a kartą. Konieczność jego zastosowania wynika ze wspomnianej wcześniej (p. 6.3) budowy układu wejściowego karty NI USB 6008. Zastosowano wzmacniacz LMC6462BIN firmy National Semiconductor o bardzo dobrych parametrach. Charakteryzuje się on dużą rezystancją wejściową, bardzo niskim napięciem



niezrównoważenia oraz dużym wzmocnieniem, dlatego nie obciąża obwodu pomiarowego oraz wiernie odtwarza mierzone napięcie.

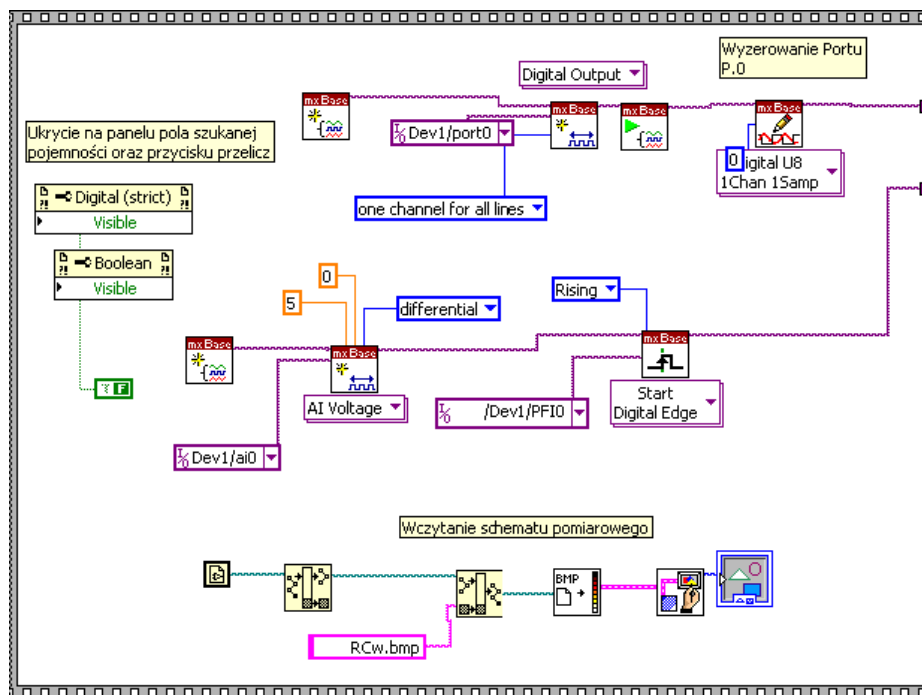
$R_x$ ,  $C_x$  - obwód pomiarowy.

W celu zminimalizowania zakłóceń, układ elektroniczny z kartą pomiarową połączono przewodem ekranowanym [8].

## 6.5. Opis oprogramowania do obsługi karty pomiarowej.

Do obsługi wyżej zaproponowanego układu wykorzystano program napisany w graficznym środowisku programowania *LabVIEW*. W związku z faktem, że pakiet *LabVIEW* jest tego samego producenta, co karta pomiarowa, firma oferuje wraz z kartą wsparcie projektowe dla tego środowiska programistycznego. Zaproponowany program swoje działanie opiera na *Event Structure*, co znacznie poprawia jego funkcjonalność. Dzięki temu możliwe stało się programowanie poszczególnych zdarzeń takich jak wciśnięcie przycisku oraz wielokrotne ich wywoływanie np. ze zmienionymi parametrami.

W pierwszej części programu następuje inicjacja karty, budowa panelu użytkownika oraz wczytanie schematu pomiarowego zapisanego w formacie \*.jpg. Inicjacja karty - rys. 6.9 polega między innymi na wyzerowaniu portu P0 karty pomiarowej. Następną logiczną 1 wystawiona na port P0.1 (Port 0 Pin1) powoduje rozpoczęcie procedury pomiarowej.

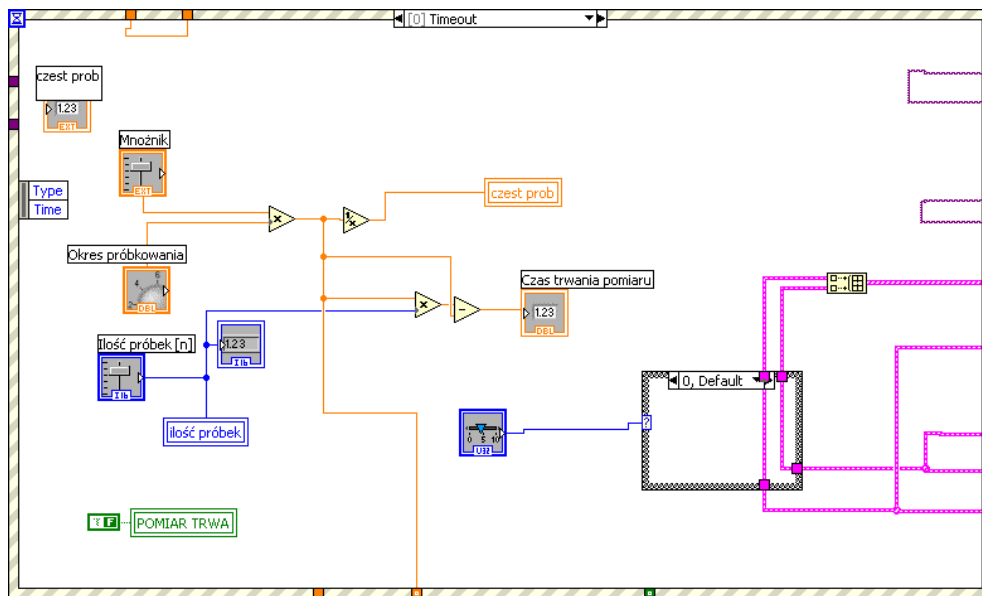


Rys. 6.9. Inicjacja karty pomiarowej

Kolejnym etapem programu jest *Event Structure* - rys. 6.10÷6.14, zawarta w pętli „while loop”, w której zaprogramowano następujące zdarzenia:

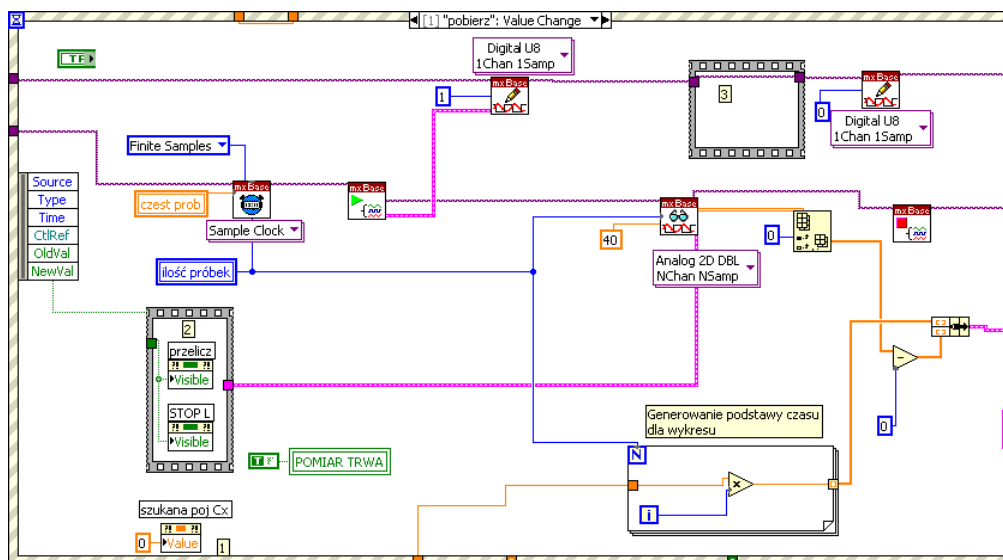
- *Timeout* - wykonywane w niekończącej się pętli - rys. 6.10
- „POMIAR”: *value change* - wykonane po wciśnięciu przycisku „POMIAR” - rys. 6.11
- „PRZELICZ”: *value change* - wykonane po wciśnięciu przycisku „PRZELICZ” - rys. 6.12
- „TEST”: *value change* - wykonane po wciśnięciu przycisku „TEST” - rys. 6.13
- „STOP”: *value change* - wykonane po wciśnięciu przycisku „STOP” - rys. 6.14.

*Timeout* - wykonuje się wówczas, gdy żadne z zaprogramowanych zdarzeń nie jest wywołane. W tym miejscu następuje ciągły odczyt parametrów próbkowania oraz wybór wykresu, który chcemy obserwować - rys. 6.10.



Rys. 6.10. Diagram części *Timeout Event Structure*

Najważniejszą częścią aplikacji jest sekcja wykonywana po naciśnięciu przycisku „POMIAR” - rys. 6.11. W tej części obsługiwana jest cała procedura akwizycji danych. Algorytm programu jest następujący:



Rys. 6.11. Diagram części „POMIAR”: *value change Event Structure*

- ustawienie częstotliwości oraz ilości zebranych próbek,
- ustawienie pracy karty w tryb umożliwiający wyzwolenie akwizycji danych zboczem narastającym sygnału cyfrowego - zbocze opadające jest niepopierane dla NI USB 6008,
- ustawienie portu P0.1 (Port 0 Pin1) karty pomiarowej w stan wysoki - rozpocznie się procedura pomiarowa,

- wykonanie zadania z zadanymi parametrami,
- odczyt danych z bufora w celu ich dalszej obróbki.

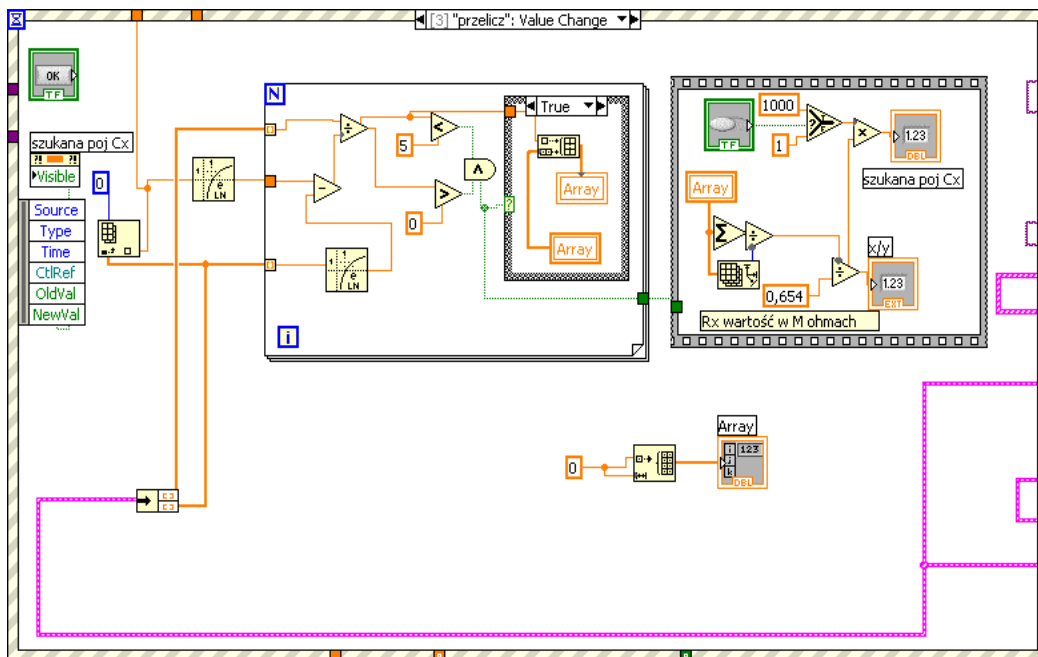
Z danych zebranych podczas procesu pomiaru należy wyznaczyć stałą czasową  $T=R_x C_x$ . Odbywa się to poprzez przekształcenie wzoru (7) do postaci (7'):

$$T = \frac{t}{\ln U_m - \ln[u_{Cx}(t)]}. \quad (7')$$

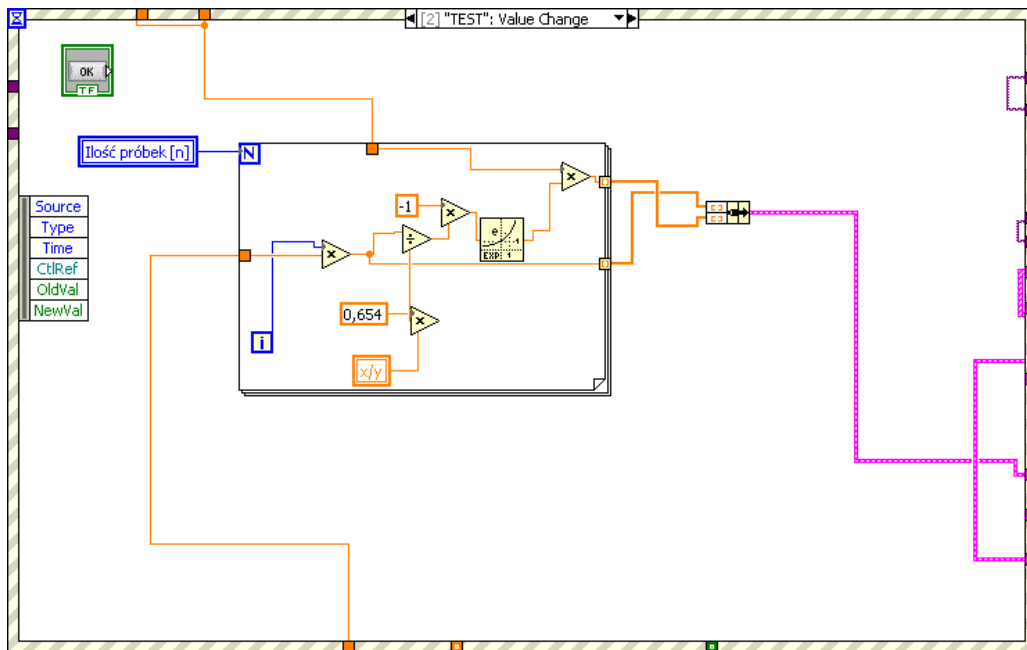
Wzór (7') przedstawia sposób wyznaczenia stałej czasowej obwodu  $R_x C_x$  za pomocą pojedynczej próbki.

W diagramie „PRZELICZ” - rys. 6.12 zaimplementowano również pomijanie błędów grubych. Jeśli wyliczona stała czasowa obwodu  $R_x C_x$  nie mieści się w zakresie od zera do pięciu sekund, wynik jest pomijany przy budowie tablicy do uśredniania.

Kolejną częścią programu jest sekcja „TEST” - rys. 6.13. Na podstawie wyliczonej pojemności generuje się charakterystykę rozładowania kondensatora, którą można oglądać na jednym wykresie. Wyboru, którą z charakterystyk przedstawić na wykresie, dokonuje się suwakiem na panelu użytkownika.

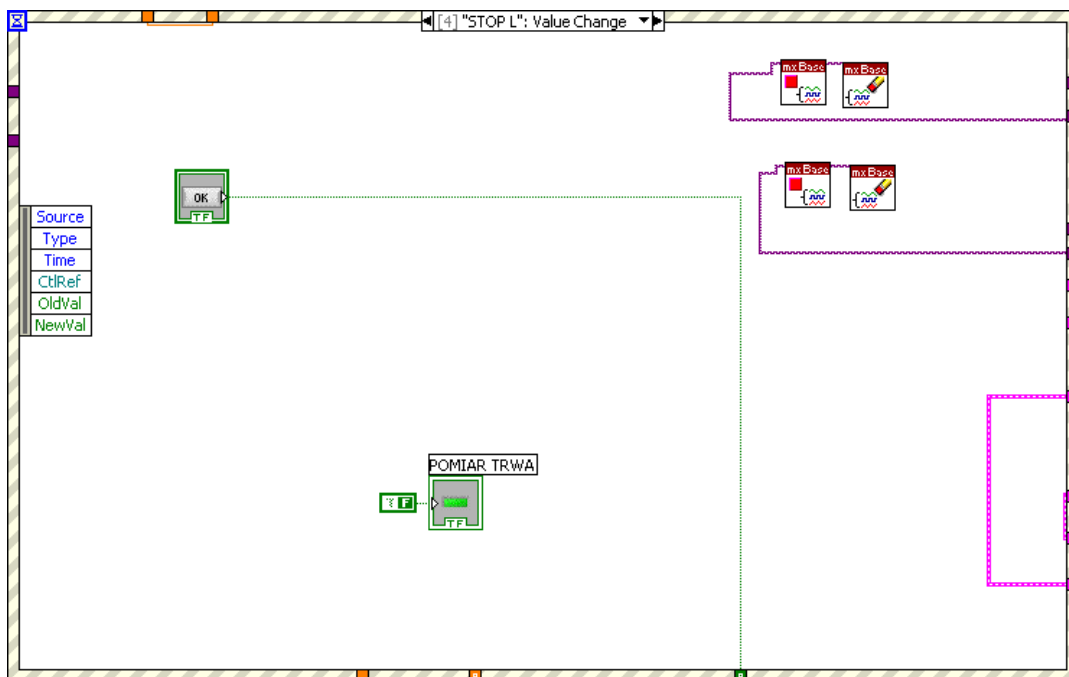


Rys. 6.12 Diagram części „PRZELICZ”: *value change Event Structure*

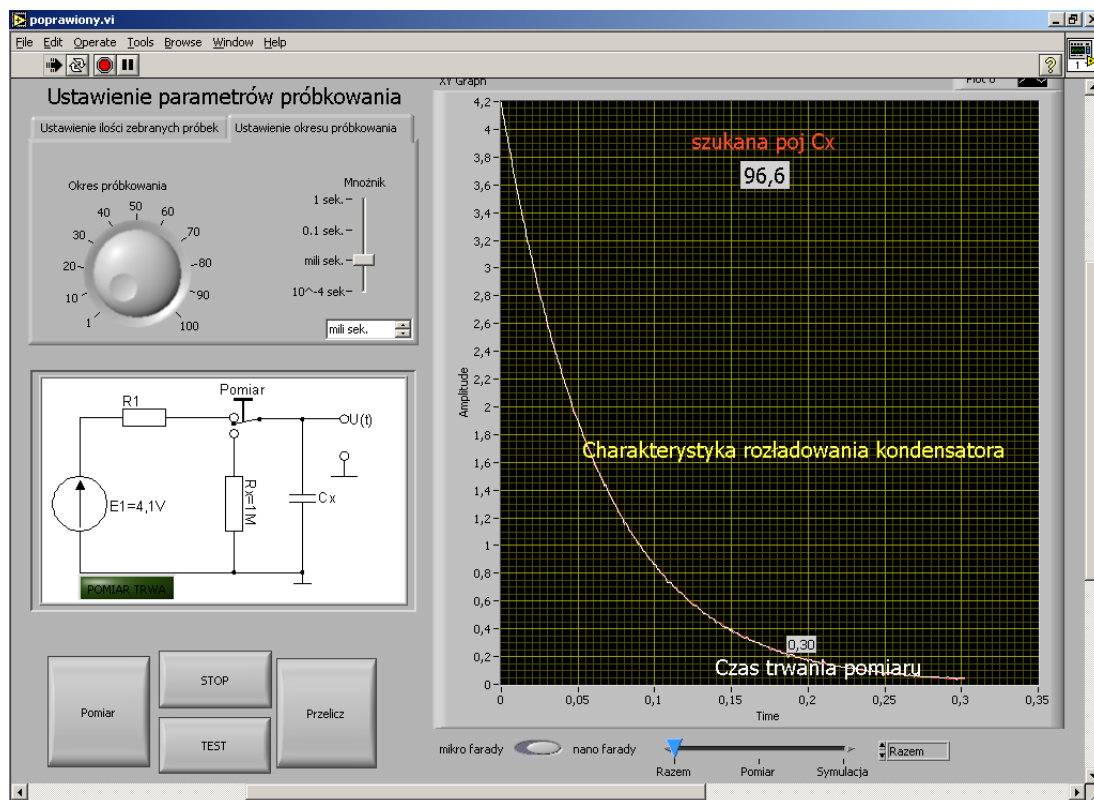


Rys. 6.13. Diagram części „TEST”: *value change Event Structure*

W sekcji „STOP”: *value change* - rys. 6.14, wykonywana jest procedura zwalniania zasobów karty pomiarowej oraz wystawiony jest sygnał zakończenia do pętli głównej, kończący wykonywanie programu.



Rys. 6.14. Diagram części „STOP”: *value change Event Structure*



Rys. 6.15. Wygląd panelu użytkownika programu napisanego w LabVIEW

Panel użytkownika – rys. 6.15 zawiera:

- Pole wykresu, na którym jest wyświetlony przebieg czasowy napięcia na rozładowywanym kondensatorze.
- Suwaki umożliwiające zadanie parametrów próbkowania (okres próbkowania, ilość zebranych próbek).
- Diode, która sygnalizuje czas trwania pomiaru - pomiar widoczny na rys. 6.15 trwał 0.3 sek.
- Przyciski, z których: „POMIAR” - inicjuje procedurę pomiarową, „STOP” - kończy wykonywanie programu, „PRZELICZ” - wylicza szukaną pojemność  $C_x$  na podstawie charakterystyki rozładowania, „TEST” - na podstawie wyliczonej pojemności symuluje charakterystykę rozładowania kondensatora (charakterystyka ta na rys. 6.15 widoczna jest w kolorze czerwonym).
- Suwak wyboru (u dołu) określa, która z charakterystyk ma zostać przedstawiona na wykresie. Program wyposażono w opcję, która na podstawie wyznaczonej pojemności  $C_x$  generuje charakterystykę rozładowywania kondensatora, a następnie wyświetla ją na tym samym wykresie, co charakterystyka uzyskana z pomiaru. Daje to możliwość porównania przebiegu obu charakterystyk i wizualnej oceny jakości aproksymacji charakterystyk uzyskanych z pomiaru i symulacji..

W części wizualizacyjnej ćwiczenia, charakterystyka rozładowania kondensatora jest generowana na dwa sposoby: na podstawie algebraicznego rozwiązania równania różniczkowego obwodu oraz poprzez dyskretyzację równania różniczkowego obwodu. Sposób pierwszy jest bardziej dokładny i pozwala wyciągnąć wniosek, że dla zastosowanej karty pomiarowej NI USB 6008 zarówno ilość próbek, jak i okres próbkowania nie mają znaczącego wpływu (innego niż statystyczny) na dokładność pomiaru pojemności  $C_x$ . Sprawdzenie tego stwierdzenia będzie tematem jednego z punktów programu ćwiczenia - p. 6.6.

Dodatkowo, w analogiczny sposób, w ćwiczeniu można badać charakterystykę rozładowania cewki i mierzyć jej wartość  $L_x$ .


## 6.6. Wykonanie ćwiczenia

1. Wykonać dwie serie pomiarów dla kondensatorów elektrolitycznych o pojemności znamionowej  $C_x = 2,2 \mu\text{F}$  oraz  $C_x = 100 \text{ nF}$  (tj. podanej przez producenta na obudowie), dostarczonych przez Prowadzącego, dla różnych czasów  $t$  pomiaru oraz różnej ilości  $n$  próbek. Zapewnić, aby czas pomiaru oraz ilość zebranych próbek zmieniały się w szerokich granicach. Pojemności te, zmierzone miernikiem cyfrowym ALDA M890G klasy 0,5, wynosiły odpowiednio:  $1,89 \mu\text{F}$  oraz  $94,1 \text{ nF}$ .
2. Dla dwóch badanych kondensatorów, wykonać odnośne wykresy błędów  $\delta_{C_x} = f(t)$  dla różnych czasów  $t$  pomiaru oraz  $\delta_{C_x} = f(n)$  dla różnych ilości  $n$  zebranych próbek.
3. Punkty 2, 3 powtórzyć dla wybranych dwóch wartości indukcyjności  $L_x$  cewki.
4. Dokonać analizy metrologicznej dokładności pomiaru składowych  $L_x$ ,  $C_x$  impedancji z uwzględnieniem dokładności wyznaczania stałej czasowej obwodu  $R_x C_x$  oraz wartości rezystancji  $R_x$ .
5. Wyciągnąć odnośne wnioski z przeprowadzonych pomiarów, określić przyczyny występowania poszczególnych rodzajów błędów. Określić czy metoda lepiej nadaje się do pomiaru dużych, np. kilkadziesiąt  $\mu\text{F}$ , czy małych wartości  $C_x$ . To samo sprawdzić dla podanej przez Prowadzącego indukcyjności  $L_x$ .

## Literatura

- [1] Dokumentacja karty pomiarowej NI USB 6008 firmy National Instruments.
- [2] Kozera M.: „Wyznaczanie składowych impedancji, pojemności oraz indukcyjności, metodą dynamiczną. Wizualizacja z wykorzystaniem środowiska LabVIEW” praca dyplomowa magisterska, Politechnika Częstochowska, Częstochowa 2005 (promotor: Prof. dr hab. inż. Waldemar Minkina).
- [3] Minkina W., Sołtysiak W.: „Methode der dynamischen Zustände zur Kapazitätsmessung unter Verwendung eines Mikrorechners” Messen, Prüfen, Automatisieren (mpa), 25 (1989) Nr 1/2, S. 48-53.
- [4] Strzałkowski A., Śliżyński A.: „Matematyczne metody opracowywania wyników pomiarów” PWN, Warszawa 1978.
- [5] Tłaczała W.: „Środowisko LabVIEW w eksperymencie wspomaganym komputerowo” WNT, Warszawa 2002.
- [6] [WWW.ni.com/LabVIEW](http://WWW.ni.com/LabVIEW)
- [7] [WWW.LabVIEW.pl](http://WWW.LabVIEW.pl)
- [8] [WWW.elektroda.pl](http://WWW.elektroda.pl)

Instrukcję opracował:

KIEROWNIK  
Zakładu Systemów Pomiarowych  
  
prof. dr hab. inż. Waldemar MINKINA

Częstochowa, luty 2018

## Dodatek

Wyprowadzenie wzoru (7) na podstawie wzoru (5):

$$\begin{aligned} C_x &= \frac{(t_1 + t_2)^2 - 2(t_1^2 + t_2^2)}{R_x \{2[t_1 \ln u_{C_x}(t_1) + t_2 \ln u_{C_x}(t_2)] - (t_1 + t_2)[\ln u_{C_x}(t_1) + \ln u_{C_x}(t_2)]\}} = \\ &= \frac{t_1^2 + 2t_1t_2 + t_2^2 - 2t_1^2 - 2t_2^2}{R_x [2t_1 \ln u_{C_x}(t_1) + 2t_2 \ln u_{C_x}(t_2) - t_1 \ln u_{C_x}(t_1) - t_1 \ln u_{C_x}(t_2) - t_2 \ln u_{C_x}(t_1) - t_2 \ln u_{C_x}(t_2)]} = \\ &= \frac{2t_1t_2 - t_1^2 - t_2^2}{R_x [t_1 \ln u_{C_x}(t_1) + t_2 \ln u_{C_x}(t_2) - t_1 \ln u_{C_x}(t_2) - t_2 \ln u_{C_x}(t_1)]} = \\ &= \frac{-(t_1 - t_2)(t_1 + t_2)}{R_x [(t_1 - t_2) \ln u_{C_x}(t_1) - (t_1 - t_2) \ln u_{C_x}(t_2)]} = \frac{t_2 - t_1}{R_x [\ln u_{C_x}(t_1) - \ln u_{C_x}(t_2)]}. \end{aligned}$$